

ば、気そうにおける酸素収支の問題

京都大学工学部 正会員 工博 合田 健
 京都大学工学部 正会員 工修 宗宮 功
 京都大学工学部 学生員 木葉 佳成

はじめに ば、気そうにおける酸素収支の検討には、供給された酸素がいつ、どのでいど、またどの部分で消費されるかを把握するのも一手法であるが、ここでは活性汚泥による酸素消費量を操作因子である空気量と関係付けるという意味から、より大きくに脚譲点を把握し、これを理論的に考察し、酸素消費特性を検討する。

ば、気そうにおける酸素濃度変化と酸素消費量について ば、気そうにおいて押出し流れ型や流入基質・吹込空気量を一定と仮定すると、一般にはば、気そう内の酸素濃度変化は次式で示される。 $(dO/dt) = k_a(O_s - O) - r_f \dots \dots \dots (1)$

ここで、 O ：酸素濃度、 O_s ：飽和濃度、 k_a ：総括酸素移動容量係数、 r_f ：汚泥における酸素消費速度、 t ：時間。右辺第1項は酸素供給項、第2項は消費項である。式(1)で k_a が一定で操作されていれば、酸素濃度変化は r_f によって定まる。 r_f については、 L ：基質濃度として、 $r_f = k_r S - a'(dL/dt) \dots \dots \dots (2)$

なる関係が示されている。 r_f は (dL/dt) に支配される。式(2)を(1)に代入すると、

$$(dO/dt) = k_a(O_s - O) - k_r S + a'(dL/dt) \dots \dots \dots (3)$$

となり、 (dL/dt) の変化は同時に (dO/dt) の変化を意味すると受けとられやすい。もし、 $a'(dL/dt)$ の変化は同時に(時間的にずれがなくという意味で) (dO/dt) の変化を示すものとなると、 (dL/dt) に1次反応式を代入して考えると、式(3)は

$$(dL/dt) \cong -k_r S_0 L_0 \exp[-k_r S_0 t]$$

$$(dO/dt) = k_a(O_s - O) - k_r S_0 - a'(1-a) k_r S_0 L_0 \exp[-k_r S_0 t] \dots \dots \dots (4)$$

となる。初期条件として、 $t = 0$ で $L = L_0$ 、 $S = S_0$ とし、1度積分すると、

$$O = O_0 e^{-k_a t} + (O_s - \frac{k_r S}{k_a})(1 - e^{-k_a t}) + \frac{a'(1-a)L_0 k_r S_0}{k_r S_0 - k_a}(e^{-k_r S_0 t} - e^{-k_a t}) \dots \dots \dots (5)$$

となる。 $\gamma' = (O/O_s)$ 、 $\gamma'_0 = (O_0/O_s)$ 、 $T_k = k_a t$ 、 $d_1 = (k_r S/k_a)$ 、 $d_2 = \{a'(1-a)L_0/O_s\}$ 、 $d_3 = (k_r S_0/k_a)$ と無次元化すると、式(5)は

$$\gamma' = \gamma'_0 e^{-T_k} + (1 - d_1)(1 - e^{-T_k}) + \frac{d_2 \cdot d_3}{d_3 - 1} (e^{-d_3 T_k} - e^{-T_k}) \dots \dots \dots (6)$$

となる。実測データや処理場データから、 $d_1 = 0.3$ 、 $d_2 = 5.0$ および $\gamma'_0 = 0.2$ とし、 T_k と γ' の関係を図示すると図-1となる。図-1では $d_3 = 1.7 \times 10^3$ であるが、 T_k が小さい部分で急激に γ' が低下し、 $\gamma' \leq 0$ の部分がば、気開始直後に起ることがわかる。これは実際のば、気そうにおいてあまりみられない現象である。結局、BOD除去速度にむづく代謝に要する酸素消費量(代謝呼吸量)があるとしたことに起因すると考えられる。これより、代謝呼吸量は常にBOD除去速度に対応しないことが予想されるので、代謝呼吸量に

関し、つゞきのようなモデルを作製した。いま、 N_r 、 k_n は汚泥の性状により定まる値とし、
 $(dO/dt) = -N_r S_o \exp[-k_n S_o t] \dots \dots \dots (7)$
 とする。これを式(3)に代入し、前記と同様に解析すると、

$$O = O_0 e^{-k_{La} t} + (O_s - \frac{k_n' S_o}{k_{La}}) (1 - e^{-k_{La} t}) + \frac{a'(1-a)}{k_n S_o - k_{La}} (e^{-k_n S_o t} - e^{-k_{La} t}) \dots \dots \dots (8)$$

および、

$$\eta' = \eta'_0 e^{-\tau_k} + (1 - d_1) (1 - e^{-\tau_k}) + \frac{d_2'}{d_3' - 1} \times (e^{-d_3' \tau_k} - e^{-\tau_k}) \dots \dots \dots (9)$$

となる。ここで、 $d_2' = (N_r S_o / k_{La} O_s)$ 、 $d_3' = (k_n S_o / k_{La})$ 。

いま、 $d_2' = 1.0$ 、 $\eta'_0 = 0.2$ を与え、 d_3' をパラメータとして τ_k と η' との関係を求めると、図-1ととなる。図中各曲線の傾向は図-1に比し、よりすみれかたになつておる、実測値に近い傾向を示している。結果、BOD除去速度と酸素消費速度との間に時間遅れが存するとの考え方があつたとの結果を得た。

以上は、ばく、気と土内の代謝呼吸量は連続的にしたがつて、 k_n 値はばく、気時間を通じて変化しないとして解析を進めているが、汚泥の性状によつては必ずしも満足する仮定でない。たとえば、ある一定濃度以上の代謝可能基質が存在するかぎり、汚泥は最大能力でこれを代謝するとも考えら

れるので、式(7)における N_r 値は段階的に変化することを予想され、 k_n 値は0に近い値を示すと考えられる。こういった状態に関する実験値もすでにいくつかえらつておるが、 N_r 値はどうなつて段階変化を示すかは、いまなお十分解析されていない。なお、この場合、理論曲線は、式(9)において $k_n \neq 0$ とし、段階変化をおこす時間 t_B 、そのときの濃度 O_B とし、

$$0 \leq \tau \leq t_B \quad \eta' = (1 - d_1 - d_2') + (\eta'_0 - 1 + d_1 + d_2') e^{-\tau} \quad \dots \dots \dots (10)$$

$$t_B < \tau \quad \eta' = (1 - d_1 - d_2') + (\eta'_B - 1 + d_1 + d_2') e^{-\tau}$$

となる。ここで、 $d_1 + d_2'$ は変化点以降の酸素消費速度を $k_n O_s$ 値で除いた値である。

考察結果 以上の検討よりえらべた結果を列挙すると、1) 基質除去速度に比例した酸素消費速度に、基質の除去と代謝呼吸との間で時間的なずれがなく存在するとすれば、実際のばく、気と土内DO分布現象に合わない。2) ばく、気と土内DO分布の算定にあたり、 N_r 、 k_n を2つのパラメーターを導入し、基質除去と代謝との時間的ずれを表示した。代謝呼吸速度 N_r は活性汚泥の性状により大きく変化し、図-1で看取ることは困難だが、はく、気と土において一様に変化する場合と段階的に変化する場合がある。などである。

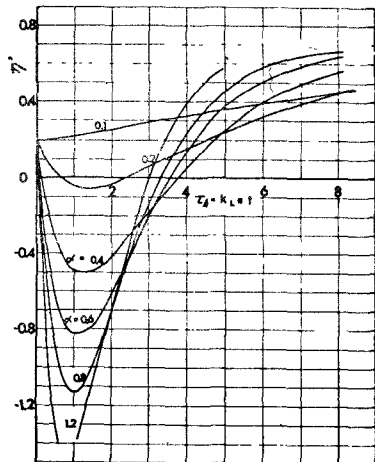


図-1 時間おくれのない場合の理論曲線

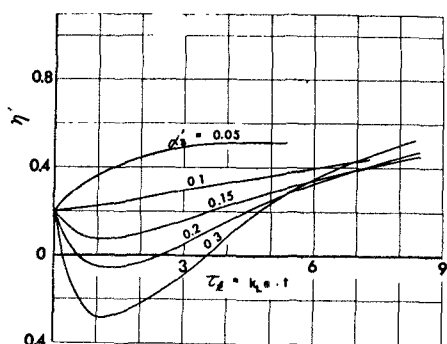


図-2 時間おくれを考慮した場合の理論曲線